

УДК 544.523.2, 544.525.2

## Влияние введения органических «гостей» на люминесцентные свойства соединений включения на основе координационного полимера Eu(BTB)

*E. A. Михалёва, И. В. Василенко, В. В. Павлищук*

Институт физической химии им. Л. В. Писаржевского НАН Украины  
просп. Науки, 31, Киев 03028, Украина. E-mail: shchuk@inphyschem-nas.kiev.ua

*Показано, что варьированием люминесцирующего органического вещества в соединениях включения «гость»/Eu(BTB) ( $H_3\text{BTB}$  = 1,3,5-бензол-три(4'-бензойная кислота), «гость» = нафталин, антрацен, флуоресцеин или родамин 6Ж) можно изменять цвет эмиссии от желтого до красного. Найдено, что по сравнению с индивидуальным координационным полимером квантовый выход  $\text{Eu}^{3+}$ -центрированной эмиссии соединения включения (0,25 флуоресцеин)/Eu(BTB) выше из-за увеличения эффективности переноса энергии на уровень иона  $\text{Eu}^{3+}$ , а соединения включения (0,25 родамин 6Ж)/Eu(BTB) ниже вследствие частичного гашения люминесценции за счет увеличения вероятности обратного переноса энергии с излучательного уровня  $\text{Eu}^{3+}$  на синглетный уровень «гостя».*

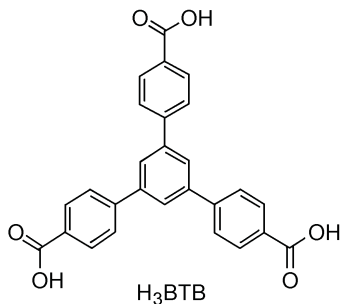
**Ключевые слова:** сенсибилизация лантаноид-центрированной эмиссии, координационные полимеры лантаноидов, люминесценция, красители, соединения включения.

Люминесцентные материалы находят все более широкое применение в различных отраслях электронной техники и медицины [1, 2], что ведет к повышению требований к их характеристикам. В частности, для возможности их практического применения желательными являются высокая чистота и точная воспроизводимость цвета эмиссии, высокие интенсивность и квантовые выходы люминесценции, а также охват широкого спектрального диапазона. Координационные соединения ионов лантаноидов ( $\text{Ln}^{3+}$ ) являются одним из перспективных классов веществ для создания люминесцентных материалов, поскольку благодаря электронному строению  $\text{Ln}^{3+}$  их спектры эмиссии характеризуются узкими полосами, которые имеют постоянное положение в спектре, что обеспечивает чистоту и воспроизводимость цвета излучения [1, 3, 4]. Однако при непосредственном возбуждении  $\text{Ln}^{3+}$  интенсивность эмиссии крайне низка, что связано с малоэффективным поглощением возбуждающего света из-за запрещенности  $f-f$ -переходов этих ионов [4, 5]. Распространенным подходом к повышению интенсивности и квантового выхода люминесценции является введение лиганда-антенны, способного поглощать возбуждающее излучение и передавать энергию на уровень  $\text{Ln}^{3+}$  [2, 3], однако на данный момент, по нашему мнению, этот метод практически себя исчерпал, поэтому поиск новых

путей к увеличению эффективности эмиссии соединений  $\text{Ln}^{3+}$  и варьированию ее цвета является актуальной задачей химии.

В отличие от комплексов лантаноидов, люминесценция органических соединений характеризуется широкими и интенсивными полосами эмиссии, положение которых зависит от растворителя, что расширяет цветовую гамму излучаемого света [6, 7]. С другой стороны, многие органические вещества, интенсивно люминесцирующие в растворах, в кристаллическом виде эмиссию не проявляют вследствие наличия концентрационного тушения из-за агрегации молекул и/или миграции энергии возбуждения [7, 8]. Можно предположить, что введение органических веществ, интенсивно люминесцирующих в растворах, в твердую матрицу позволит отдалить их молекулы друг от друга и предотвратить агрегацию последних. Кроме того, если в качестве матрицы использовать пористый координационный полимер (ПКП), также проявляющий люминесценцию, включение органического вещества в его поры может привести к изменению характеристик эмиссии ПКП. Таким образом, цель настоящей работы состоит в изучении влияния введения люминесцирующих органических веществ в поры ПКП на характеристики эмиссии таких соединений включения. Среди органических соединений нами выбраны нафталин (Naph),

антрацен (Antr), флуоресцеин (Fl) и родамин 6Ж (R6G), люминесцирующие в различных диапазонах спектра [9—12], а в качестве матрицы — проявляющий  $\text{Eu}^{3+}$ -центрированную эмиссию ПКП  $\text{Eu}(\text{BTB})(\text{H}_2\text{O}) \cdot 2(\text{C}_6\text{H}_{12}\text{O})$  ( $\text{H}_3\text{BTB}$  — 1,3,5-бензол-*трис*(4'-бензойная кислота);  $\text{C}_6\text{H}_{12}\text{O}$  — циклогексанол), характеризующийся наличием в кристалле каналов диаметром около 1,5 нм и известный как MIL-103(Eu) [13, 14]. С этими «гостями» и ПКП получены соединения включения 0,9Naph/Eu(BTB) (1), 0,75Antr/Eu(BTB) (2), 0,25Fl/Eu(BTB) (3) и 0,25R6G/Eu(BTB) (4).



### Экспериментальная часть

Коммерчески доступные реагенты («Acros» и «Макрохим») использовали без дополнительной очистки.  $\text{H}_3\text{BTB}$  получали по методике [15]. Элементный анализ проводили с помощью анализатора «Carlo Erba 1106». Порошковые дифрактограммы измерены на приборе «Bruker X9» с излучением  $\text{CuK}_\alpha$ . Идентификацию кристаллической фазы проводили путем сравнения дифрактограммы порошка  $\text{Eu}(\text{BTB})$  с рассчитанной с помощью программы Mercury 3.8 по данным рентгеноструктурного анализа  $\text{Tb}(\text{BTB})(\text{H}_2\text{O}) \cdot 2(\text{C}_6\text{H}_{12}\text{O})$  [14]. Электронные спектры диффузного отражения измеряли на спектрометре «Specord M-40» и преобразовывали с помощью функции Кубелки — Мунка [16], а спектры возбуждения и люминесценции для твердых образцов при комнатной температуре — на люминесцентном спектрометре «Perkin Elmer LS55». Квантовые выходы эмиссии определяли по известной методике с использованием стандарта ( $\text{Y}_2\text{O}_3$  : Eu) для длины волн возбуждающего света 254 нм и пересчитывали для длин волн 315 или 350 нм [17]. Количество отраженного возбуждающего излучения определяли по методике [18] с использованием стандарта отражения  $\text{MgO}$  ( $R = 0,91$ ).

$\text{Eu}(\text{BTB})(\text{H}_2\text{O}) \cdot 2(\text{C}_6\text{H}_{12}\text{O})$  получен аналогично  $\text{Tb}(\text{BTB})$  [14]. Соединения включения синтезировали путем формирования координационного полимера  $\text{Eu}(\text{BTB})$  в присутствии в реакционной смеси потенциальных «гостей» — нафтилина (Naph), антрацена (Antr), флуоресцеина (Fl) или родамина 6Ж (R6G).

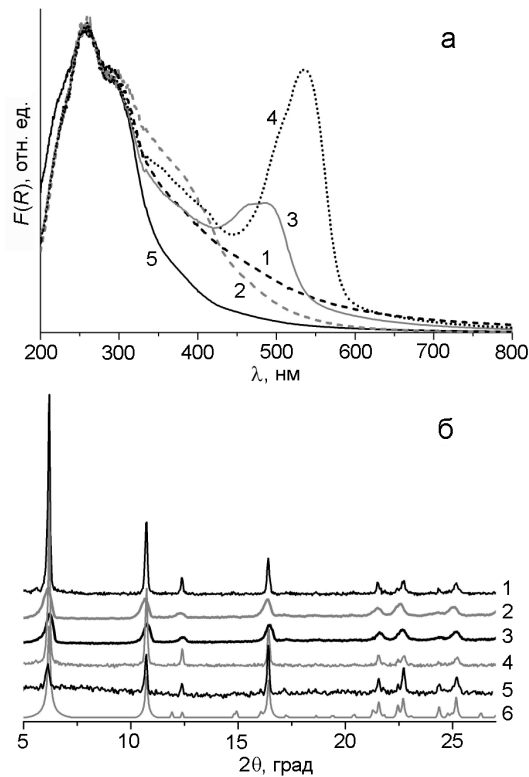


Рис. 1. Спектры поглощения (а) и дифрактограммы (б) порошков соединений включения 1 (1), 2 (2), 3 (3), 4 (4), ПКП  $\text{Eu}(\text{BTB})$  (5) и рассчитанная для ПКП  $\text{Tb}(\text{BTB})$  (6) [14].

Продукты отфильтровывали и промывали метиловым спиртом от избытка «гостей» до прекращения люминесценции промывного раствора. Состав (число молекул «гостя»/формульная единица  $\text{Eu}(\text{BTB})$ ) соединений включения 0,9Naph/Eu(BTB) (1), 0,75Antr/Eu(BTB) (2), 0,25Fl/Eu(BTB) (3) и 0,25R6G/Eu(BTB) (4) определен по данным элементного анализа.

### Результаты и обсуждение

В спектрах поглощения соединений 1—4 и индивидуального ПКП  $\text{Eu}(\text{BTB})$  (рис. 1, а) в области 200—350 нм присутствует полоса, которая одинакова для всех соединений и, следовательно, обусловлена поглощением  $\text{BTB}^{3-}$ , как единственного общего для всех указанных систем органического фрагмента. В области 350—600 нм спектры 1—4 и ПКП  $\text{Eu}(\text{BTB})$  отличаются: наблюдаются плечо или дополнительная полоса, возникающие за счет поглощения соответствующих «гостей» [11, 12, 19], что указывает на присутствие Naph, Antr, Fl и R6G в составе соединений.

На дифрактограммах порошков 1—4 наблюдаются исключительно рефлексы, соответствующие фазе ПКП  $\text{Eu}(\text{BTB})$  (рис. 1, б). Отсутствие рефлексов, ха-

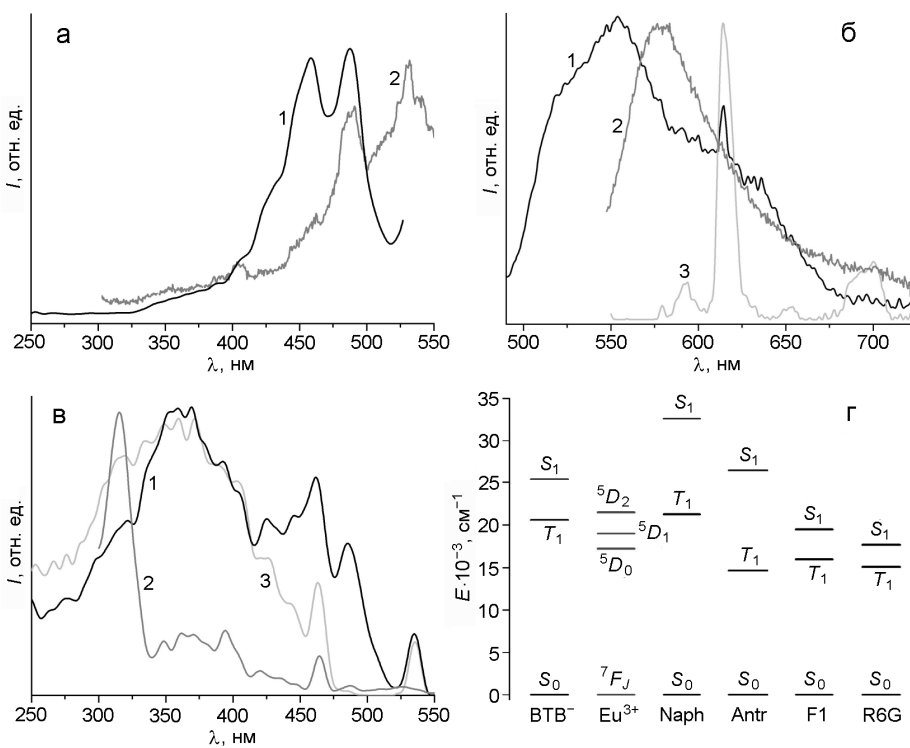


Рис. 2. а — Спектры возбуждения эмиссии «гостей» в 3 (1) ( $\lambda_{\text{эм}} = 555$  нм) и 4 (2) ( $\lambda_{\text{эм}} = 580$  нм); б — спектры флуоресценции 3 (1) ( $\lambda_{\text{эм}} = 315$  нм); в — спектры возбуждения  $\text{Eu}^{3+}$ -центрированной эмиссии 3 (1) ( $\lambda_{\text{эм}} = 614$  нм), 4 (2) ( $\lambda_{\text{эм}} = 614$  нм) и ПКП Eu(BTB) (3) ( $\lambda_{\text{эм}} = 614$  нм); г — энергетическая диаграмма соединений включения и ПКП Eu(BTB). Энергетические уровни  $\text{BTB}^{3-}$ , Naph, Antr, Fl и R6G определены в работах [10, 22, 25, 26].

рактерных для кристаллического строения «гостей» (Naph, Antr, Fl и R6G), свидетельствует о том, что эти соединения индивидуальных фаз не образуют и находятся или в порах структуры Eu(BTB), или адсорбированы на поверхности кристаллитов.

Косвенным признаком того, что Naph, Antr, Fl и R6G находятся в порах ПКП Eu(BTB), а не на поверхности кристаллитов, может быть то, что соединения включения промывали метиловым спиртом, в котором Naph, Antr, Fl и R6G растворимы, до прекращения люминесценции промывного раствора, однако, как следует из данных элементного анализа и электронной спектроскопии, они остались в составе полученных систем. Кроме того, по данным рентгеноструктурного анализа для Тb(BTB) [14], изоструктурного согласно дифрактограмме порошка Eu(BTB), диаметр каналов в кристалле составляет около 1,5 нм [14, 20], что значительно превышает размеры молекул «гостей», и, следовательно, последние могут быть включены в поры Eu(BTB).

В спектрах флуоресценции твердых образцов соединений включения 1, 2 и индивидуального ПКП Eu(BTB) эмиссия не наблюдается, а в случае соединений 3 и 4 присутствуют широкие полосы люми-

несценции в желтом (555 нм) или оранжевом (580 нм) диапазонах спектра (рис. 2, б). Форма и положение полос эмиссии в спектрах 3 и 4 совпадают с полосами в спектрах флуоресценции Fl и R6G в разбавленных растворах [9—12]. Проявление эмиссии «гостей» в соединениях включения указывает, что отдельные молекулы красителей изолированы друг от друга, поскольку в концентрированных растворах Fl и R6G флуоресценция не проявляется вследствие концентрационного тушения [9, 21], и нам не удалось зафиксировать эмиссию твердых образцов чистых красителей. Кроме этого, в спектре флуоресценции 3 проявляется узкая полоса при 614 нм, которую можно отнести к люминесценции ионов  $\text{Eu}^{3+}$ , входящих в состав ПКП Eu(BTB), что указывает на соизмеримость интенсивности эмиссии флуоресцеина и  $\text{Eu}^{3+}$  в этом соединении включения. В спектрах возбуждения 3 и 4, измеренных для максимумов в спектрах флуоресценции ( $\lambda_{\text{эм}} = 555$  и 580 нм соответственно) (рис. 2, а), наблюдаются полосы в диапазоне поглощения соответствующих красителей [11, 12, 19], а в области поглощения Eu(BTB) полосы отсутствуют. Это указывает, что Fl и R6G в составе соединений включения люминесцируют, однако

энергия возбуждения не передается от Eu(BTB) к молекулам «гостей».

В отличие от спектров флуоресценции, в спектрах люминесценции твердых образцов всех соединений включения **1—4** и индивидуального ПКП Eu(BTB), записанных с задержкой 0,05 мс, проявляются полосы эмиссии, при этом спектры отличаются только интенсивностью, что указывает на идентичность излучательных центров во всех случаях. Как показано ранее [22], люминесценция Eu(BTB) обусловлена металлоцентрированными переходами с уровня  $^5D_0$  иона Eu<sup>3+</sup> в красном диапазоне спектра ( $\lambda_{\text{max}} = 614 \text{ нм}$ ) (рис. 2, *б*), а полосы, которые можно было бы отнести к люминесценции BTB<sup>3—</sup>, в спектре отсутствуют. Это позволяет утверждать, что люминесценция соединений включения также обусловлена излучением ионов Eu<sup>3+</sup>, входящих в состав ПКП Eu(BTB). Необходимо отметить, что в спектрах времязадержанной люминесценции отсутствуют полосы, которые можно было бы отнести к фосфоресценции «гостей», из чего можно сделать вывод о низкой эффективности переноса энергии на их триплетные уровни.

Спектры возбуждения Eu<sup>3+</sup>-центрированной эмиссии ( $\lambda_{\text{em}} = 614 \text{ нм}$ ) измерены для всех соединений включения и индивидуального Eu(BTB) (рис. 2, *в*). В спектрах индивидуального ПКП Eu(BTB) и соединений включения **1** и **2** проявляется широкая полоса в диапазоне 300—400 нм, вероятно соответствующая поглощению BTB<sup>3—</sup>, и две узкие полосы при 465 и 536 нм, обусловленные Eu<sup>3+</sup>-центрированными переходами на верхние возбужденные уровни  $^5D_2$  и  $^5D_1$  соответственно [23, 24]. Так как форма полос в УФ-области для этих соединений совпадает, можно сделать вывод, что основным фрагментом, поглощающим возбуждающее излучение, передающееся на уровне иона Eu<sup>3+</sup> в индивидуальном ПКП и соединениях включения **1** и **2**, является BTB<sup>3—</sup>.

В отличие от соединений включения с Naph и Antr, спектры возбуждения Eu<sup>3+</sup>-центрированной эмиссии систем **3** и **4** не совпадают со спектром индивидуального ПКП Eu(BTB). Так, в спектре соединения включения **3** относительная интенсивность поглощения возбуждающего излучения в области 450—510 нм существенно выше, чем в спектре индивидуального ПКП Eu(BTB). Учитывая, что именно в этой области поглощает Fl, можно предположить, что в **3** сенсибилизация эмиссии иона Eu<sup>3+</sup> осуществляется не только путем переноса энергии с BTB<sup>3—</sup>, а также переносом энергии с красителя. В случае же **4** в спектре возбуждения Eu<sup>3+</sup>-центрированной эмиссии относительная интенсивность поглощения возбуждающего излучения при 350—450 нм существенно ниже, чем в случае Eu(BTB), что может

#### Квантовые выходы Eu<sup>3+</sup>-центрированной эмиссии соединений включения «гость»/Eu(BTB)

«Гость»	Квантовый выход, % <sup>a</sup>	Квантовый выход относительно Eu(BTB) <sup>b</sup>
—	0,12	1
Naph	0,24	2,0
Antr	0,15	1,3
Fl	0,14 (0,24) <sup>b</sup>	1,2 (2,1) <sup>b</sup>
R6G	0,11 (0,02) <sup>b</sup>	0,9 (0,2) <sup>b</sup>

<sup>a</sup> Определен при  $\lambda_{\text{ex}} = 315 \text{ нм}$ ; <sup>b</sup> отношение значения квантового выхода эмиссии соединений включения к величине квантового выхода для индивидуального ПКП Eu(BTB); <sup>b</sup> в скобках приведено значение, определенное при  $\lambda_{\text{ex}} = 350 \text{ нм}$ .

указывать на гашение эмиссии Eu<sup>3+</sup> в области перекрывания полос в спектрах поглощения BTB<sup>3—</sup> и коротковолнового края полосы в аналогичном спектре R6G, вероятно, за счет экранирующего эффекта последнего (т. е. поглощения возбуждающего излучения с невозможностью дальнейшей передачи энергии на уровень иона Eu<sup>3+</sup>).

Квантовые выходы Eu<sup>3+</sup>-центрированной эмиссии соединений включения и индивидуального Eu(BTB), определенные для длин волн возбуждения 315 и 350 нм, приведены в таблице. Понижение квантовых выходов по сравнению с индивидуальным Eu(BTB) наблюдается только для соединения включения с R6G, что согласуется с данными спектров возбуждения и с предположением о гашении эмиссии вследствие поглощения части возбуждающего излучения (экранирующего эффекта R6G). В случае других соединений включения квантовый выход Eu<sup>3+</sup>-центрированной эмиссии или повышается, или практически не изменяется.

Как известно [1—3], на величины квантовых выходов эмиссии люминесцентных систем влияют процессы переноса энергии, эффективность и направление которых зависят от относительного положения энергетических уровней компонентов (рис. 2, *г*). Значения энергии триплетных уровней Antr, Fl и R6G ниже соответствующей величины энергии излучательного уровня иона Eu<sup>3+</sup> ( $^5D_0$ ,  $17300 \text{ см}^{-1}$  [3]), однако эмиссия этого иона наблюдается, что может указывать на то, что триплетные уровни Antr, Fl и R6G не являются определяющими в процессах переноса энергии, вероятно из-за запрещенности  $S_1 - T_1$ -переходов и отсутствия проявления «эффекта тяжелого атома» (частичное снятие запрета интер-

комбинационных переходов), поскольку «гости» не связаны напрямую с Eu<sup>3+</sup>. Таким образом, в основном в процессы переноса энергии вовлечены синглетные ( $S_1$ ) уровни «гостей» и близкие величины квантовых выходов эмиссии Eu<sup>3+</sup> в соединениях включения с Antr, Fl и R6G при  $\lambda_{ex} = 315$  нм могут быть связаны с тем, что «гости» не поглощают в этом диапазоне возбуждающее излучение, за счет чего процессы поглощения и переноса энергии происходят только внутри Eu(BTB). Однако увеличение в 2 раза величины квантового выхода Eu<sup>3+</sup>-центрированной эмиссии в случае **1** требует дополнительного исследования. При возбуждении эмиссии Eu<sup>3+</sup> светом с длиной волны 350 нм величины квантовых выходов систем с Fl и R6G существенно отличаются как друг от друга, так и от величины квантового выхода индивидуального ПКП Eu(BTB), что может быть связано с тем, что в соединениях **3** и **4** поглощение возбуждающего излучения на этой длине волны, кроме BTB<sup>3-</sup>, также может осуществляться «гостями». В случае **3** энергия  $S_1$ -уровня Fl выше излучательного уровня иона Eu<sup>3+</sup> на 2200 см<sup>-1</sup>, что способствует эффективному переносу энергии на  $^5D_0$ -уровень иона Eu<sup>3+</sup> и, следовательно, сенсибилизации эмиссии иона лантаноида. В случае же **4** разница энергий уровня  $S_1$  R6G и  $^5D_0$ -уровня Eu<sup>3+</sup> составляет всего 400 см<sup>-1</sup>, что обусловливает высокую вероятность обратного переноса энергии с Eu<sup>3+</sup> на R6G [27, 28] и, следовательно, приводит к гашению эмиссии вследствие миграции энергии между этими уровнями и увеличению вероятности безызлучательной дезактивации возбужденных состояний. Наблюдаемые изменения значений квантовых выходов Eu<sup>3+</sup>-центрированной эмиссии в **3** и **4** согласуются с данными спектров возбуждения.

В целом в спектрах флуоресценции соединений включения **3** и **4** проявляются интенсивные полосы эмиссии с максимумами при 555 и 580 нм, а в спектрах фосфоресценции соединений **1**—**4** наблюдаются узкие полосы люминесценции с максимумом при 614 нм, что позволяет варьировать цвет излучаемого света от желтого до красного. Стоит отметить, что при введении нафталина и антрацена, люминесцирующих в индивидуальном состоянии в сине-фиолетовой области, в ПКП эмиссия «гостя» не наблюдается, что ограничивает диапазон цветов излучающего света, полученный в настоящей работе. Кроме того, величина квантового выхода Eu<sup>3+</sup>-центрированной эмиссии **1** и **3** в два раза превышает аналогичную величину для индивидуального Eu(BTB), что показывает возможность использования «гостей» в качестве сенсибилизаторов люминесценции Eu<sup>3+</sup>.

Таким образом, показано, что в спектрах флуоресценции соединений включения 0,25Fl/Eu(BTB) и

0,25R6G/Eu(BTB) проявляется эмиссия «гостя» — флуоресцеина или родамина 6Ж соответственно, а в спектрах время-разрешенной люминесценции всех полученных в настоящей работе соединений включение 0,9Naph/Eu(BTB), 0,75Antr/Eu(BTB), 0,25Fl/Eu(BTB) и 0,25R6G/Eu(BTB) наблюдается Eu<sup>3+</sup>-центрированная эмиссия, что позволяет варьировать цвет излучения от желтого до красного в зависимости от «гостя». Найдено, что в случае соединения включения 0,25Fl/Eu(BTB) квантовый выход Eu<sup>3+</sup>-центрированной эмиссии выше по сравнению с индивидуальным координационным полимером из-за увеличения эффективности переноса энергии на уровень иона Eu<sup>3+</sup>, а в случае соединения 0,25R6G/Eu(BTB) ниже вследствие частичного гашения люминесценции за счет увеличения вероятности обратного переноса энергии с излучательного уровня Eu<sup>3+</sup> на синглетный уровень «гостя».

Работа выполнена при частичной финансовой поддержке совместного проекта трехстороннего сотрудничества (Trilateral Partnerships) Фонда VolkswagenStiftung между исследователями Украины, России и Германии (проект № 90343).

## Литература

1. Cui Y., Yue Y., Qian G., Chen B. // Chem. Rev. — 2012. — **112**, N 2. — P. 1126—1162.
2. Binzli J.-C. G. // Coord. Chem. Rev. — 2015. — **293/294**. — P. 19—47.
3. Binnemans K. // Chem. Rev. — 2009. — **109**, N 9. — P. 4283—4374.
4. Binzli J.-C. G., Piguet C. // Chem. Soc. Rev. — 2005. — **34**, N 12. — P. 1048—1077.
5. Heinea J., Müller-Buschbaum K. // Chem. Soc. Rev. — 2013. — **42**, N 24. — P. 9232—9242.
6. Resch-Genger U., Grabolle M., Cavaliere-Jaricot S. et al. // Nature Methods. — 2008. — **5**, N 9. — P. 763—775.
7. Lakowicz J. R. Principles of fluorescence spectroscopy. — New York : Springer, 2006.
8. Valeur B. Molecular fluorescence: principles and applications. — Weinheim : Wiley-VCH, 2002.
9. Romanchuk K. G. // Surv. Ophthalmol. — 1982. — **26**, N 5. — P. 269—283.
10. Кузнецов В. А., Кунавин Н. И., Шамраев В. Н. // Журн. прикл. спектроскопии. — 1974. — **20**, № 5. — С. 800—804.
11. Klonis N., Sawyer W. H. // J. Fluorescence. — 1996. — **6**, N 3. — P. 147—157.
12. Reisfeld R., Zusman R., Eyal M. // Chem. Phys. Lett. — **147**, N 2/3. — P. 142—147.
13. Devic T., Wagner V., Guillou N. et al. // Micropor. and Mesopor. Mater. — 2011. — **140**, N 1—3. — P. 25—33.
14. Devic T., Serre C., Audebrand N. et al. // J. Amer. Chem. Soc. — 2005. — **127**, N 37. — P. 12788—12789.

15. Kothe G., Zimmermann H. // Tetrahedron. — 1973. — **29**, N 15. — P. 2305—2313.
16. Frodyma M. M., Lieu V. T. // Modern aspects of reflectance spectroscopy / Ed. W. W. Wendlandt. — New York : Plenum press, 1968. — P. 88—106.
17. Jüstel T., Krupa J.-C., Wiechert D. U. // J. Luminescence. — 2001. — **93**, N 3. — P. 179—189.
18. Fu L., Ferreira R. A. S., Silva N. J. O., Carlos L. D. // Chem. Mater. — 2004. — **16**, N 8. — P. 1507—1516.
19. Clar E. // Spectrochim. acta. — 1950. — **4**, N 2. — P. 116—121.
20. Choi J. R., Tachikawa T., Fujitsuka M., Majima T. // Langmuir. — 2010. — **26**, N 13. — P. 10437—10443.
21. Penzkofer A., Lu Y. // Chem. Phys. — **103**, N 2/3. — P. 399—405.
22. Михалєва Е. А., Василенко І. В., Павлищук В. В. // Теорет. и эксперим. хімія. — 2016. — **52**, № 5. — С. 285—290. — [Theor. Exp. Chem. — 2016. — **52**, N 5. — P. 285—290 (Engl. Transl.)].
23. Shi S., Liu X., Gao J., Zhou J. // Spectrochim. acta A. — 2008. — **69**, N 2. — P. 396—399.
24. Li Y.-C., Chang Y.-H., Lin Y.-F. et al. // J. Alloys and Compd. — 2007. — **439**, N 1/2. — P. 367—375.
25. Porter G., Windsor M. W. // Proc. R. Soc. Lond. A. — 1958. — **245**, N 1241. — P. 238—258.
26. Hebbink G. A., Grave L., Woldering L. A. et al. // J. Phys. Chem. A. — 2003. — **107**, N 14. — P. 2483—2491.
27. Sato S., Wada M. // Bull. Chem. Soc. Jap. — 1970. — **43**, N 7. — P. 1955—1962.
28. Latva M., Takalo H., Mikkala V. M. et al. // J. Luminescence. — 1997. — **75**, N 2. — P. 149—169.

Поступила в редакцію 13 липня 2017 г.  
В окончательном варианте 18 липня 2017 г.

## Вплив введення органічних «гостей» на люмінесцентні властивості сполук включення на основі координаційного полімеру Eu(BTB)

**O. A. Міхальєва, I. В. Василенко, В. В. Павлищук**

Інститут фізичної хімії ім. Л. В. Писаржевського НАН України  
просп. Науки, 31, Київ 03028, Україна. E-mail: shchuk@inphyschem-nas.kiev.ua

Показано, що варіюванням органічної речовини в сполуках включення «гість»/Eu(BTB) ( $H_3\text{BTB} = 1,3,5$ -бензол-триєс(4'-бензойна кислота), «гість» = нафталін, антрацен, флуоресцеїн або родамін 6Ж) можливо змінювати колір емісії від жовтого до червоного. Знайдено, що в порівнянні з індивідуальним координаційним полімером квантовий вихід  $\text{Eu}^{3+}$ -центральної емісії сполуки включення (0,25 флуоресцеїн)/Eu(BTB) вище через збільшення ефективності переносу енергії на рівні іону  $\text{Eu}^{3+}$ , а сполуки включення (0,25 родамін 6Ж)/Eu(BTB) нижче внаслідок часткового гасіння люмінесценції за рахунок збільшення імовірності зворотного переносу енергії з випромінювального рівня  $\text{Eu}^{3+}$  на синглетний рівень «гостя».

**Ключові слова:** сенсибілізація лантаноїд-централізованої емісії, координаційні полімери лантаноїдів, люмінесценція, барвники, сполуки включення.

## Influence of Introduction of Organic “Guests” on the Luminescent Properties of Inclusion Compounds Based on the Coordination Polymer Eu(BTB)

**E. A. Mikhalyova, I. V. Vasylchenko, V. V. Pavlyshchuk**

L. V. Pysarzhevsky Institute of Physical Chemistry, National Academy of Sciences of Ukraine  
Prosp. Nauky, 31, Kyiv 03028, Ukraine. E-mail: shchuk@inphyschem-nas.kiev.ua

*It was shown that variation of luminescent organic substance in inclusion compounds «guest»/Eu(BTB) ( $H_3\text{BTB} = \text{benzene}-1,3,5\text{-triyl-tris}(4'\text{-benzoic acid})$ , «guest» = naphthalene, anthracene, fluorescein or rhodamine 6G) may change the emission color from yellow to red. It was found that comparing with the individual coordination polymer, the quantum yield of the  $\text{Eu}^{3+}$ -centered emission of the inclusion compound (0.25 fluorescein)/Eu(BTB) is higher due to an increase of energy transfer efficiency to energy levels of  $\text{Eu}^{3+}$ -ion and the quantum yield of inclusion compound (0.25 rhodamine 6G)/Eu(BTB) is lower on account of partial luminescence quenching due to an increase of the probability of reverse energy transfer from the  $\text{Eu}^{3+}$  radiative level to the singlet level of the “guest”.*

**Key words:** sensitization of lanthanide-centered emission, lanthanide coordination polymers, luminescence, dyes, inclusion compounds.